

文章编号: 1004-4353(2019)01-0036-04

# Li<sub>6</sub>(La<sub>2</sub>Ca)Nb<sub>2</sub>O<sub>12</sub>基质中掺杂Dy<sup>3+</sup>离子的发光性质研究\*

李红娜, 田莲花\*

(延边大学 理学院, 吉林 延吉 133002)

**摘要:**采用高温固相法制备了Li<sub>6</sub>(La<sub>2</sub>Ca)Nb<sub>2</sub>O<sub>12</sub>:Dy<sup>3+</sup>荧光粉样品,通过X射线衍射分析了样品的晶体结构,并利用光谱技术研究了样品的光致发光光谱。光谱分析结果表明,Li<sub>6</sub>(La<sub>2</sub>Ca)Nb<sub>2</sub>O<sub>12</sub>:Dy<sup>3+</sup>的激发光谱由两部分组成:一是位于200~290 nm的一个宽带,峰值位于269 nm,属于Nb—O、Dy—O的电荷迁移带的叠加;二是位于310~500 nm之间的系列尖锐的吸收峰,这些激发峰属于Dy<sup>3+</sup>的f→f跃迁。样品可被近紫外或蓝光LED有效激发。在269 nm激发下,样品在580 nm处有很强的黄光发射,色坐标为(0.470 3, 0.492 7)。随着Dy<sup>3+</sup>掺杂浓度的增加,样品的发光强度增强,当Dy<sup>3+</sup>浓度为10 mol%时出现浓度猝灭。

**关键词:**黄色荧光粉; Dy<sup>3+</sup>; 发光

中图分类号: O482.31

文献标识码: A

## Luminescence properties of Dy<sup>3+</sup> ion doped Li<sub>6</sub>(La<sub>2</sub>Ca)Nb<sub>2</sub>O<sub>12</sub> phosphor

LI Hongna, TIAN Lianhua\*

(College of Science, Yanbian University, Yanji 133002, China)

**Abstract:** A novel phosphor Li<sub>6</sub>(La<sub>2</sub>Ca)Nb<sub>2</sub>O<sub>12</sub>:Dy<sup>3+</sup> was successfully prepared by high temperature solid phase method. The XRD patterns and photoluminescence spectra of the samples were studied by X-ray diffractometer and fluorescence spectrophotometer. Spectral analysis results show that the excitation spectrum of Li<sub>6</sub>(La<sub>2</sub>Ca)Nb<sub>2</sub>O<sub>12</sub>:Dy<sup>3+</sup> exhibits two parts: one is a broad absorption band at 200~290 nm centered at 269 nm, which is assigned the charge transfer band (CTB) of Nb—O and Dy—O; the second is a series of sharp absorption peaks between 310 nm and 500 nm. These excitation peaks belong to the f→f transition of Dy<sup>3+</sup> ion, which could be excited with the nUV or blue LEDs. Under the excitation of 269 nm, the color coordinates of the emission spectrum are (0.470 3, 0.492 7), which is located in the yellow region at 580 nm. The luminescence intensities of the samples increased with the increase of content of Dy<sup>3+</sup> till x=10 mol%. When the concentration of Dy<sup>3+</sup> is over 10 mol%, the luminescence intensities decreased due to the concentration quenching mechanism.

**Keywords:** yellow phosphor; Dy<sup>3+</sup>; luminescence

## 0 引言

白光LED由于具有环保、节能、高效、体积

小、寿命长等诸多优点,被广泛应用在照明和显示领域<sup>[1-2]</sup>。目前,商业白光LED大多是通过将黄光荧光粉YAG:Ce<sup>3+</sup>与商用蓝光LED芯片组合来

收稿日期: 2018-12-26

\*通信作者: 田莲花(1972—),女,博士,教授,研究方向为发光学。

基金项目: 国家自然科学基金资助项目(51362028);吉林省科技发展计划项目(20130101035JC);吉林省教育厅“十三五”科学技术项目(JJKH20180893KJ)

实现<sup>[3]</sup>.这种商业白光LED虽可满足信号灯和指示灯等一般照明要求,但由于YAG:Ce<sup>3+</sup>光谱中的红光成分不足,由其合成的白光具有低显色指数和高色温,即是一种冷白光.

双钙钛矿化合物因价格低廉且具有热稳定性及化学稳定性,常被用于光催化、太阳能电池领域,以及发光材料的基质中<sup>[4-6]</sup>.在铌酸盐中,铌(Nb)易于形成NbO<sub>4</sub><sup>3-</sup>四面体和NbO<sub>6</sub><sup>7-</sup>八面体,当NbO<sub>4</sub><sup>3-</sup>四面体和NbO<sub>6</sub><sup>7-</sup>八面体以不同方式连结时,可以形成铌铁矿、钙钛矿、钨锰铁矿、烧绿石以及类钙钛矿结构的层状铌酸盐等多种化合物<sup>[7]</sup>.另外,由于NbO<sub>6</sub><sup>7-</sup>和NbO<sub>4</sub><sup>3-</sup>在紫外区具有较宽较强的电荷转移吸收带,其能量可以通过无辐射机制有效地转移到激活剂,因此NbO<sub>6</sub><sup>7-</sup>和NbO<sub>4</sub><sup>3-</sup>是制备发光材料的良好基质<sup>[8]</sup>.目前,有关Dy<sup>3+</sup>离子与紫外激发的发光性质的研究较多<sup>[9-13]</sup>,如Dy<sup>3+</sup>在灯用荧光粉Y<sub>x</sub>Gd<sub>1-x</sub>V<sub>1-y</sub>PyO<sub>4</sub>中的激活作用<sup>[12-13]</sup>.研究表明,当Dy<sup>3+</sup>处于晶格的非对称中心位置时,其受到紫外光激发会发生f→f跃迁,同时发射出黄光(<sup>4</sup>F<sub>9/2</sub>→<sup>6</sup>H<sub>13/2</sub>)和蓝光(<sup>4</sup>F<sub>9/2</sub>→<sup>6</sup>H<sub>15/2</sub>).另外,在大多数的基质化合物中,Dy<sup>3+</sup>的<sup>4</sup>F<sub>9/2</sub>→<sup>6</sup>H<sub>13/2</sub>跃迁的黄光发射强于<sup>4</sup>F<sub>9/2</sub>→<sup>6</sup>H<sub>15/2</sub>跃迁的蓝光发射<sup>[14]</sup>.目前,以双钙钛矿氧化物Li<sub>6</sub>(La<sub>2</sub>Ca)Nb<sub>2</sub>O<sub>12</sub>为基质,Dy<sup>3+</sup>为激活材料的LED荧光粉的应用未见相关文献报道,为此本文选用Li<sub>6</sub>(La<sub>2</sub>Ca)Nb<sub>2</sub>O<sub>12</sub>为基质,掺入Dy<sup>3+</sup>离子为激活材料制备荧光粉,并研究其发光性质.

## 1 实验

### 1.1 材料与合成

采用高温固相法制备Li<sub>6</sub>(La<sub>2</sub>Ca)Nb<sub>2</sub>O<sub>12</sub>:Dy<sup>3+</sup>.以高纯度的Li<sub>2</sub>CO<sub>3</sub>、CaCO<sub>3</sub>、La<sub>2</sub>O<sub>3</sub>、Nb<sub>2</sub>O<sub>5</sub>和Dy<sub>2</sub>O<sub>3</sub>为原料,按化学计量比准确称取并充分研磨后放入刚玉坩埚中,在空气气氛下和1 000 °C下加热2 h后,将样品冷却至室温并再次研磨粉碎,所得样品用于表征.

### 1.2 样品表征

采用A D/max 2200VPC型转靶X射线衍射

仪分析物相,阳极金属为Cu靶,X射线的波长为1.540 56 Å.采用日立F-7000荧光光谱仪测量激发光谱和发射光谱,以450 W的Xe灯作为激发光源.结构图采用Klaus Brandenburg设计的Diamond软件制作.所有测量均在室温下进行.

## 2 结果与讨论

Li<sub>6</sub>(La<sub>2</sub>Ca)Nb<sub>2</sub>O<sub>12</sub>的晶体结构如图1所示. Li<sub>6</sub>(La<sub>2</sub>Ca)Nb<sub>2</sub>O<sub>12</sub>属立方体结构,空间群为Ia-3d,晶格常数为a=12.721 8 Å, V=2 058.95 Å<sup>3</sup>, Z=8,富含八面体位点(NbO<sub>6</sub>)<sup>[15]</sup>. NbO<sub>6</sub>八面体由共边共顶相连接,形成二维NbO<sub>6</sub>层,两层间通过短的Nb—O键相连接,每个Nb<sup>5+</sup>被6个O<sup>2-</sup>包围; Li<sup>+</sup>单独存在于基团周围,而Ca<sup>2+</sup>和La<sup>3+</sup>的格位被4个NbO<sub>6</sub>八面体包围,配位数为8<sup>[16]</sup>.当Dy<sup>3+</sup>掺入Li<sub>6</sub>(La<sub>2</sub>Ca)Nb<sub>2</sub>O<sub>12</sub>时,由于Dy<sup>3+</sup>的半径(1.027)和La<sup>3+</sup>的半径(1.160)相似,且两者都是三价离子,因此Dy<sup>3+</sup>可以取代La<sup>3+</sup>的格位.由Li<sub>6</sub>(La<sub>2</sub>Ca)Nb<sub>2</sub>O<sub>12</sub>的标准衍射图谱(ICSD No.161386)和Li<sub>6</sub>(La<sub>2</sub>Ca)Nb<sub>2</sub>O<sub>12</sub>:xDy<sup>3+</sup>(x=5、10、15、20 mol%)的XRD图谱(图2)可以看到,掺入低浓度Dy<sup>3+</sup>的Li<sub>6</sub>(La<sub>2-x</sub>Ca)Nb<sub>2</sub>O<sub>12</sub>:xDy<sup>3+</sup>的X射线衍射图谱与Li<sub>6</sub>(La<sub>2</sub>Ca)Nb<sub>2</sub>O<sub>12</sub>的标准无机晶体结构数据库(ICSD)的卡片(No. 161386)相一致,这表明Dy<sup>3+</sup>已经取代了La<sup>3+</sup>离子的格位,且对基质晶格没有影响.

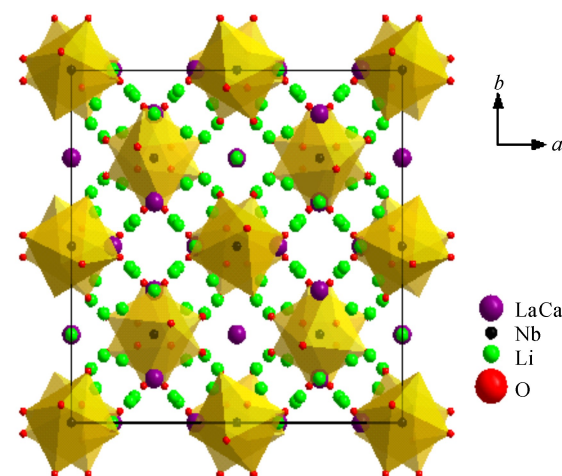


图1 Li<sub>6</sub>(La<sub>2</sub>Ca)Nb<sub>2</sub>O<sub>12</sub>的晶体结构

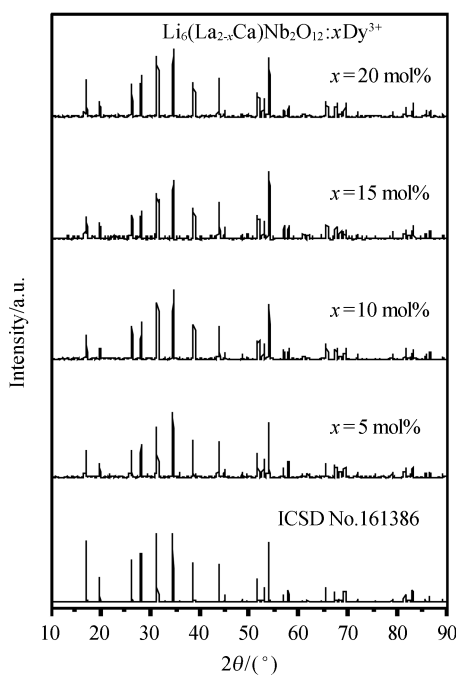


图 2  $\text{Li}_6(\text{La}_2\text{Ca})\text{Nb}_2\text{O}_{12}:x\text{Dy}^{3+}$  ( $x=5, 10, 15, 20$  mol%) 和  $\text{Li}_6(\text{La}_2\text{Ca})\text{Nb}_2\text{O}_{12}$  (ICSD No. 161386) 的 XRD 图谱

图 3 是  $\text{Li}_6(\text{La}_2\text{Ca})\text{Nb}_2\text{O}_{12}:x\text{Dy}^{3+}$  ( $x=1, 5, 10, 20, 25$  mol%) 荧光粉样品的激发(PLE)和发射(PL)光谱。由图 3 可知:在 580 nm 波长监测下,  $\text{Li}_6(\text{La}_2\text{Ca})\text{Nb}_2\text{O}_{12}:\text{Dy}^{3+}$  的激发光谱由两部分组成:一是位于 200~290 nm 的一个宽带, 峰值位于 269 nm, 属于 Nb—O、Dy—O 的电荷迁移带的叠加;二是位于 310~500 nm 之间的系列尖锐的吸收峰, 这些激发峰的峰值分别位于 326、351、366、384、425、453 nm 和 472 nm, 属于  $\text{Dy}^{3+}$  的  $f \rightarrow f$  跃迁, 分别对应  $^6\text{H}_{15/2}$  到  $^4\text{P}_{3/2}, ^6\text{P}_{7/2}, ^6\text{P}_{5/2}$ 、 $^4\text{M}_{21/2}$ 、 $^4\text{G}_{11/2}$ 、 $^4\text{I}_{15/2}$  和  $^4\text{F}_{9/2}$  的跃迁, 这表明样品可被近紫外或蓝光 LED 有效地激发。样品的发射光谱主要有 493 nm 和 580 nm 两个主发射峰, 分别对应绿光( $^4\text{F}_{9/2} \rightarrow ^6\text{H}_{15/2}$ )和黄光( $^4\text{F}_{9/2} \rightarrow ^6\text{H}_{13/2}$ )发射, 其中黄光的强度高于绿光。

由图 3 还可知, 在 350~400 nm 之间有较宽的发射带, 属于基团  $\text{NbO}_6^{7-}$  的发射。当  $\text{Dy}^{3+}$  掺杂浓度增加时, 基团  $\text{NbO}_6^{7-}$  的发射强度随之减弱, 而  $\text{Dy}^{3+}$  离子的发射峰则随之增强, 这说明基团  $\text{NbO}_6^{7-}$  到  $\text{Dy}^{3+}$  离子有能量传递, 并且  $\text{Dy}^{3+}$  离子的发光强度随着  $\text{Dy}^{3+}$  离子浓度的变化而变化。当

$x=10$  mol% 时, 发光强度达到最大值。随后, 随着  $\text{Dy}^{3+}$  离子浓度的增加, 发光强度开始下降, 并出现浓度猝灭现象。

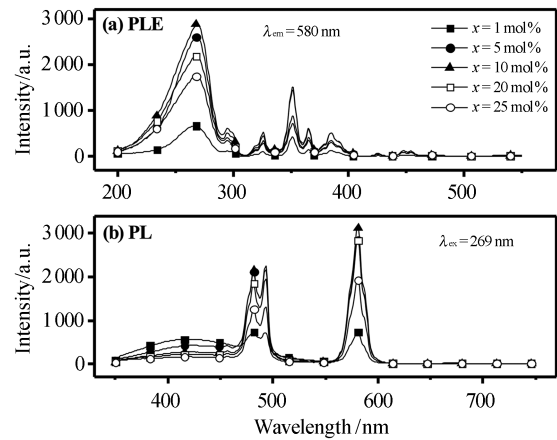


图 3  $\text{Li}_6(\text{La}_2\text{Ca})\text{Nb}_2\text{O}_{12}:x\text{Dy}^{3+}$  ( $x=1, 5, 10, 20, 25$  mol%) 的激发(PLE)和发射(PL)光谱

在 269 nm 激发下,  $\text{Li}_6(\text{La}_2\text{Ca})\text{Nb}_2\text{O}_{12}:10$  mol%  $\text{Dy}^{3+}$  的 CIE 色坐标图如图 4 所示。由图 4 可知,  $\text{Li}_6(\text{La}_2\text{Ca})\text{Nb}_2\text{O}_{12}:10$  mol%  $\text{Dy}^{3+}$  的 CIE 色坐标为 (0.470 3, 0.492 7), 为黄色荧光粉。

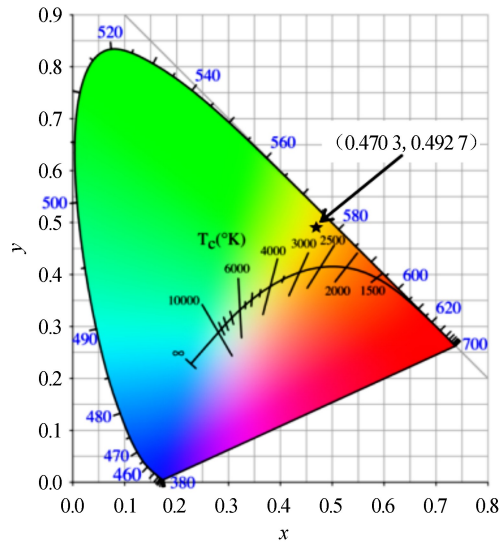


图 4  $\text{Li}_6(\text{La}_2\text{Ca})\text{Nb}_2\text{O}_{12}:10$  mol%  $\text{Dy}^{3+}$  的 CIE 色坐标图

### 3 结论

通过高温固相法合成了  $\text{Li}_6(\text{La}_2\text{Ca})\text{Nb}_2\text{O}_{12}:\text{Dy}^{3+}$  荧光粉材料。光谱分析显示, 激发光谱主要位于 269 nm 左右的宽吸收带及位于 310~500

nm之间的Dy<sup>3+</sup>的f→f激发跃迁峰组成,可被近紫外或蓝光LED有效地激发。当激发波长为269 nm时,发射光谱在580 nm处呈现黄光发射,属于Dy<sup>3+</sup>离子的<sup>4</sup>F<sub>9/2</sub>→<sup>6</sup>H<sub>13/2</sub>跃迁,样品的色坐标为(0.470 3, 0.492 7)。本文研究结果表明,Li<sub>6</sub>(La<sub>2</sub>Ca)Nb<sub>2</sub>O<sub>12</sub>:Dy<sup>3+</sup>荧光粉在白光LED领域具有潜在的应用价值。

## 参考文献:

- [1] IM W B, KIM Y I, FELLOWS N N, et al. A yellow-emitting Ce<sup>3+</sup> phosphor, La<sub>1-x</sub>Ce<sub>x</sub>Sr<sub>2</sub>AlO<sub>5</sub>, for white light-emitting diodes[J]. Appl Phys Lett, 2008, 93(9):1687.
- [2] LI X, GUAN L, SUN M, et al. Luminescent properties of Dy<sup>3+</sup> doped SrMoO<sub>4</sub> phosphor[J]. J Lumin, 2011, 131(5):1022-1025.
- [3] BLASSE G, BRIL A. A new phosphor for flying-spot cathode-ray tubes for color television: yellow-emitting Y<sub>3</sub>Al<sub>5</sub>O<sub>12</sub>:Ce<sup>3+</sup> [J]. Appl Phys Lett, 1967, 11(2):53-55.
- [4] XIA Z G, SUN J F, DU H Y, et al. Luminescence properties of double-perovskite Sr<sub>2</sub>Ca<sub>1-2x</sub>Eu<sub>x</sub>Na<sub>x</sub>MoO<sub>6</sub> red-emitting phosphors prepared by the citric acid-assisted solgel method[J]. J Mater Sci, 2010, 45: 1553-1559.
- [5] YE S, WANG C H, LIU Z S, et al. Photoluminescence and energy transfer of phosphor series Ba<sub>2-z</sub>Sr<sub>z</sub>CaMo<sub>1-y</sub>W<sub>y</sub>O<sub>6</sub>:Eu<sup>3+</sup>, Li<sup>+</sup> for white light UVLED applications[J]. Appl Phys B-Lasers Opt, 2008, 91:551-557.
- [6] CASTELLANOS M, MARTINEZ M C, WEST A R. New family of phases, Li<sub>2</sub>MXO<sub>4</sub>:X=Zr, Hf; M=Mg, Mn, Fe, Co, Ni, Cu, Zn with α-LiFeO<sub>2</sub> and related structures[J]. Z Krist, 1990, 190:161-169.
- [7] BLASSE G. Structure and Bonding 42[M]. Berlin: Springer-Verlag Press, 1980:25.
- [8] XIAO X Z, YAN B. Synthesis and luminescent properties of novel RENbO<sub>4</sub>:Ln<sup>3+</sup> (RE=Y, Gd, Lu; Ln=Eu, Tb)[J]. J Non-cryst Solids, 2005, 351(46/48):3634-3639.
- [9] 姜永章,夏海平,张加忠,等.单晶体α-NaYF<sub>4</sub>:Dy<sup>3+</sup>的制备及光谱特性[J].光子学报,2015,44(8):0816001.
- [10] SU Q, PEI Z W, CHI L S, et al. The yellow-to-blue intensity (Y/B) of Dy<sup>3+</sup> emission[J]. J Alloys Compd, 1993, 192(1/2):25-27.
- [11] SU Q, LIN J, LI B. A study on the luminescence properties of Eu<sup>3+</sup> and Dy<sup>3+</sup> in M<sub>2</sub>RE<sub>8</sub>(SiO<sub>4</sub>)<sub>6</sub>O<sub>2</sub> (M=Mg, Ca; RE=Y, Gd, La)[J]. J Alloys Compd, 1995, 225(1/2):120-123.
- [12] SOMMERDIJK J L, BRIL A. Efficiency of Dy<sup>3+</sup>-activated phosphors[J]. Chem Inform, 1975, 6(39):1024-1030.
- [13] HAN G C, WANG Y H, WU C F, et al. A novel Dy<sup>3+</sup>-doped GdPO<sub>4</sub> white-light phosphors under vacuum ultraviolet excitation for Hg-free lamps application[J]. Chin Phys Soc, 2009, 18(10): 4532-4535.
- [14] 裴治武,苏锵.Dy<sup>3+</sup>,Sm<sup>3+</sup>和Ce<sup>3+</sup>离子在M<sub>3</sub>La<sub>2</sub>(BO<sub>3</sub>)<sub>4</sub>(M=Ca,Sr,Ba)中光谱性质的研究[J].发光学报,1989,10(3):213-218.
- [15] PERCIVAL J, APPERLEY D, SLATER P R. Synthesis and structural characterisation of the Li ion conducting garnet-related systems, Li<sub>6</sub>ALa<sub>2</sub>Nb<sub>2</sub>O<sub>12</sub> (A=Ca, Sr)[J]. Solid State Ionics, 2008, 179: 1693-1696.
- [16] VENKATARAMAN T, WERNER W. Li<sub>6</sub>ALa<sub>2</sub>Nb<sub>2</sub>O<sub>12</sub> (A=Ca, Sr, Ba): a new class of fast lithium ion conductors with garnet-like structure[J]. J Am Ceram Soc, 2005, 88(2):411-418.